

Starkniederschlagshöhen und -spenden gemäß KOSTRA-DWD-2020

Rasterfeld 215171

(Zeile 215, Spalte 171)

Regenspende und Bemessungsniederschlagswerte in Abhängigkeit von Wiederkehrzeit T und Dauerstufe D

| Dauerstufe D | | Wiederkehrzeit T | | | | | | | | | | | | | | | | | |
|--------------|-----|------------------|------------|-------|------------|-------|------------|-------|------------|-------|------------|-------|------------|-------|------------|-------|------------|-------|------------|
| | | 1 a | | 2 a | | 3 a | | 5 a | | 10 a | | 20 a | | 30 a | | 50 a | | 100 a | |
| min | Std | mm | l / (s ha) | mm | l / (s ha) | mm | l / (s ha) | mm | l / (s ha) | mm | l / (s ha) | mm | l / (s ha) | mm | l / (s ha) | mm | l / (s ha) | mm | l / (s ha) |
| 5 | | 8,2 | 273,3 | 9,9 | 330,0 | 10,9 | 363,3 | 12,3 | 410,0 | 14,3 | 476,7 | 16,4 | 546,7 | 17,7 | 590,0 | 19,5 | 650,0 | 22,0 | 733,3 |
| 10 | | 10,8 | 180,0 | 13,0 | 216,7 | 14,4 | 240,0 | 16,2 | 270,0 | 18,9 | 315,0 | 21,6 | 360,0 | 23,4 | 390,0 | 25,7 | 428,3 | 29,1 | 485,0 |
| 15 | | 12,6 | 140,0 | 15,2 | 168,9 | 16,8 | 186,7 | 19,0 | 211,1 | 22,1 | 245,6 | 25,2 | 280,0 | 27,3 | 303,3 | 30,0 | 333,3 | 33,9 | 376,7 |
| 20 | | 14,0 | 116,7 | 16,9 | 140,8 | 18,8 | 156,7 | 21,1 | 175,8 | 24,6 | 205,0 | 28,1 | 234,2 | 30,4 | 253,3 | 33,5 | 279,2 | 37,8 | 315,0 |
| 30 | | 16,3 | 90,6 | 19,7 | 109,4 | 21,8 | 121,1 | 24,6 | 136,7 | 28,6 | 158,9 | 32,7 | 181,7 | 35,4 | 196,7 | 38,9 | 216,1 | 44,0 | 244,4 |
| 45 | | 18,9 | 70,0 | 22,9 | 84,8 | 25,3 | 93,7 | 28,5 | 105,6 | 33,1 | 122,6 | 37,9 | 140,4 | 41,0 | 151,9 | 45,1 | 167,0 | 51,0 | 188,9 |
| 60 | 1 | 21,0 | 58,3 | 25,4 | 70,6 | 28,1 | 78,1 | 31,7 | 88,1 | 36,8 | 102,2 | 42,1 | 116,9 | 45,6 | 126,7 | 50,1 | 139,2 | 56,7 | 157,5 |
| 90 | 1,5 | 24,3 | 45,0 | 29,4 | 54,4 | 32,5 | 60,2 | 36,7 | 68,0 | 42,6 | 78,9 | 48,8 | 90,4 | 52,8 | 97,8 | 58,1 | 107,6 | 65,6 | 121,5 |
| 120 | 2 | 27,0 | 37,5 | 32,6 | 45,3 | 36,1 | 50,1 | 40,7 | 56,5 | 47,3 | 65,7 | 54,1 | 75,1 | 58,6 | 81,4 | 64,4 | 89,4 | 72,8 | 101,1 |
| 180 | 3 | 31,2 | 28,9 | 37,8 | 35,0 | 41,8 | 38,7 | 47,1 | 43,6 | 54,8 | 50,7 | 62,7 | 58,1 | 67,8 | 62,8 | 74,6 | 69,1 | 84,3 | 78,1 |
| 240 | 4 | 34,6 | 24,0 | 41,9 | 29,1 | 46,4 | 32,2 | 52,3 | 36,3 | 60,7 | 42,2 | 69,5 | 48,3 | 75,2 | 52,2 | 82,7 | 57,4 | 93,5 | 64,9 |
| 360 | 6 | 40,1 | 18,6 | 48,5 | 22,5 | 53,6 | 24,8 | 60,5 | 28,0 | 70,3 | 32,5 | 80,4 | 37,2 | 87,0 | 40,3 | 95,7 | 44,3 | 108,2 | 50,1 |
| 540 | 9 | 46,4 | 14,3 | 56,0 | 17,3 | 62,0 | 19,1 | 69,9 | 21,6 | 81,3 | 25,1 | 93,0 | 28,7 | 100,7 | 31,1 | 110,7 | 34,2 | 125,1 | 38,6 |
| 720 | 12 | 51,4 | 11,9 | 62,1 | 14,4 | 68,8 | 15,9 | 77,5 | 17,9 | 90,1 | 20,9 | 103,1 | 23,9 | 111,6 | 25,8 | 122,8 | 28,4 | 138,7 | 32,1 |
| 1080 | 18 | 59,4 | 9,2 | 71,9 | 11,1 | 79,6 | 12,3 | 89,7 | 13,8 | 104,3 | 16,1 | 119,3 | 18,4 | 129,1 | 19,9 | 142,0 | 21,9 | 160,5 | 24,8 |
| 1440 | 24 | 65,9 | 7,6 | 79,7 | 9,2 | 88,2 | 10,2 | 99,4 | 11,5 | 115,6 | 13,4 | 132,2 | 15,3 | 143,2 | 16,6 | 157,4 | 18,2 | 177,9 | 20,6 |
| 2880 | 48 | 84,5 | 4,9 | 102,2 | 5,9 | 113,1 | 6,5 | 127,5 | 7,4 | 148,2 | 8,6 | 169,6 | 9,8 | 183,5 | 10,6 | 201,9 | 11,7 | 228,1 | 13,2 |
| 4320 | 72 | 97,7 | 3,8 | 118,2 | 4,6 | 130,8 | 5,0 | 147,4 | 5,7 | 171,4 | 6,6 | 196,1 | 7,6 | 212,3 | 8,2 | 233,5 | 9,0 | 263,8 | 10,2 |
| 5760 | 96 | 108,3 | 3,1 | 131,0 | 3,8 | 145,0 | 4,2 | 163,5 | 4,7 | 190,0 | 5,5 | 217,4 | 6,3 | 235,3 | 6,8 | 258,8 | 7,5 | 292,5 | 8,5 |
| 7200 | 120 | 117,4 | 2,7 | 141,9 | 3,3 | 157,1 | 3,6 | 177,1 | 4,1 | 205,8 | 4,8 | 235,5 | 5,5 | 254,9 | 5,9 | 280,4 | 6,5 | 316,8 | 7,3 |
| 8640 | 144 | 125,3 | 2,4 | 151,5 | 2,9 | 167,7 | 3,2 | 189,0 | 3,6 | 219,8 | 4,2 | 251,4 | 4,8 | 272,2 | 5,3 | 299,3 | 5,8 | 338,2 | 6,5 |
| 10080 | 168 | 132,4 | 2,2 | 160,1 | 2,6 | 177,3 | 2,9 | 199,8 | 3,3 | 232,2 | 3,8 | 265,7 | 4,4 | 287,6 | 4,8 | 316,3 | 5,2 | 357,5 | 5,9 |

Starkniederschlagshöhen und -spenden gemäß KOSTRA-DWD-2020

Rasterfeld 215171

(Zeile 215, Spalte 171)

Örtliche Unsicherheiten in Abhängigkeit von Wiederkehrzeit T und Dauerstufe D

| Dauerstufe D | | Wiederkehrzeit T | | | | | | | | |
|--------------|-----|------------------|-----|-----|-----|------|------|------|------|-------|
| | | 1 a | 2 a | 3 a | 5 a | 10 a | 20 a | 30 a | 50 a | 100 a |
| min | Std | ± % | ± % | ± % | ± % | ± % | ± % | ± % | ± % | ± % |
| 5 | | 30 | 31 | 32 | 32 | 32 | 33 | 33 | 33 | 33 |
| 10 | | 32 | 33 | 33 | 34 | 34 | 35 | 35 | 35 | 35 |
| 15 | | 32 | 33 | 33 | 34 | 34 | 35 | 35 | 35 | 35 |
| 20 | | 31 | 32 | 33 | 33 | 34 | 34 | 34 | 35 | 35 |
| 30 | | 30 | 31 | 31 | 32 | 32 | 33 | 33 | 33 | 34 |
| 45 | | 28 | 29 | 30 | 30 | 31 | 31 | 32 | 32 | 32 |
| 60 | 1 | 27 | 28 | 28 | 29 | 29 | 30 | 30 | 30 | 31 |
| 90 | 1,5 | 25 | 26 | 26 | 27 | 27 | 28 | 28 | 28 | 29 |
| 120 | 2 | 23 | 24 | 25 | 25 | 26 | 26 | 26 | 27 | 27 |
| 180 | 3 | 22 | 22 | 23 | 23 | 24 | 24 | 24 | 25 | 25 |
| 240 | 4 | 20 | 21 | 21 | 22 | 22 | 23 | 23 | 23 | 23 |
| 360 | 6 | 18 | 19 | 19 | 20 | 20 | 21 | 21 | 21 | 21 |
| 540 | 9 | 17 | 18 | 18 | 18 | 19 | 19 | 19 | 19 | 20 |
| 720 | 12 | 16 | 17 | 17 | 17 | 18 | 18 | 18 | 19 | 19 |
| 1080 | 18 | 16 | 16 | 16 | 16 | 17 | 17 | 17 | 17 | 18 |
| 1440 | 24 | 16 | 16 | 16 | 16 | 17 | 17 | 17 | 17 | 17 |
| 2880 | 48 | 18 | 18 | 17 | 17 | 17 | 17 | 18 | 18 | 18 |
| 4320 | 72 | 20 | 19 | 19 | 19 | 19 | 19 | 19 | 19 | 19 |
| 5760 | 96 | 21 | 21 | 20 | 20 | 20 | 20 | 20 | 20 | 20 |
| 7200 | 120 | 23 | 22 | 22 | 22 | 21 | 21 | 21 | 21 | 21 |
| 8640 | 144 | 24 | 23 | 23 | 23 | 22 | 22 | 22 | 22 | 22 |
| 10080 | 168 | 25 | 24 | 24 | 24 | 23 | 23 | 23 | 23 | 23 |

Parameter für abweichende T und D

Lokationsparameter ξ (Xi)

21,11234958

Skalenparameter α (Alpha)

6,13685545

Formparameter κ (Kappa)

-0,1

1. Koutsoyiannis-Parameter θ (Theta)

0,00821088

2. Koutsoyiannis-Parameter η (Eta)

0,64153289

Parameter für dauerstufenübergreifende Extremwertschätzung nach KOUTSOYIANNIS et al. 1998.

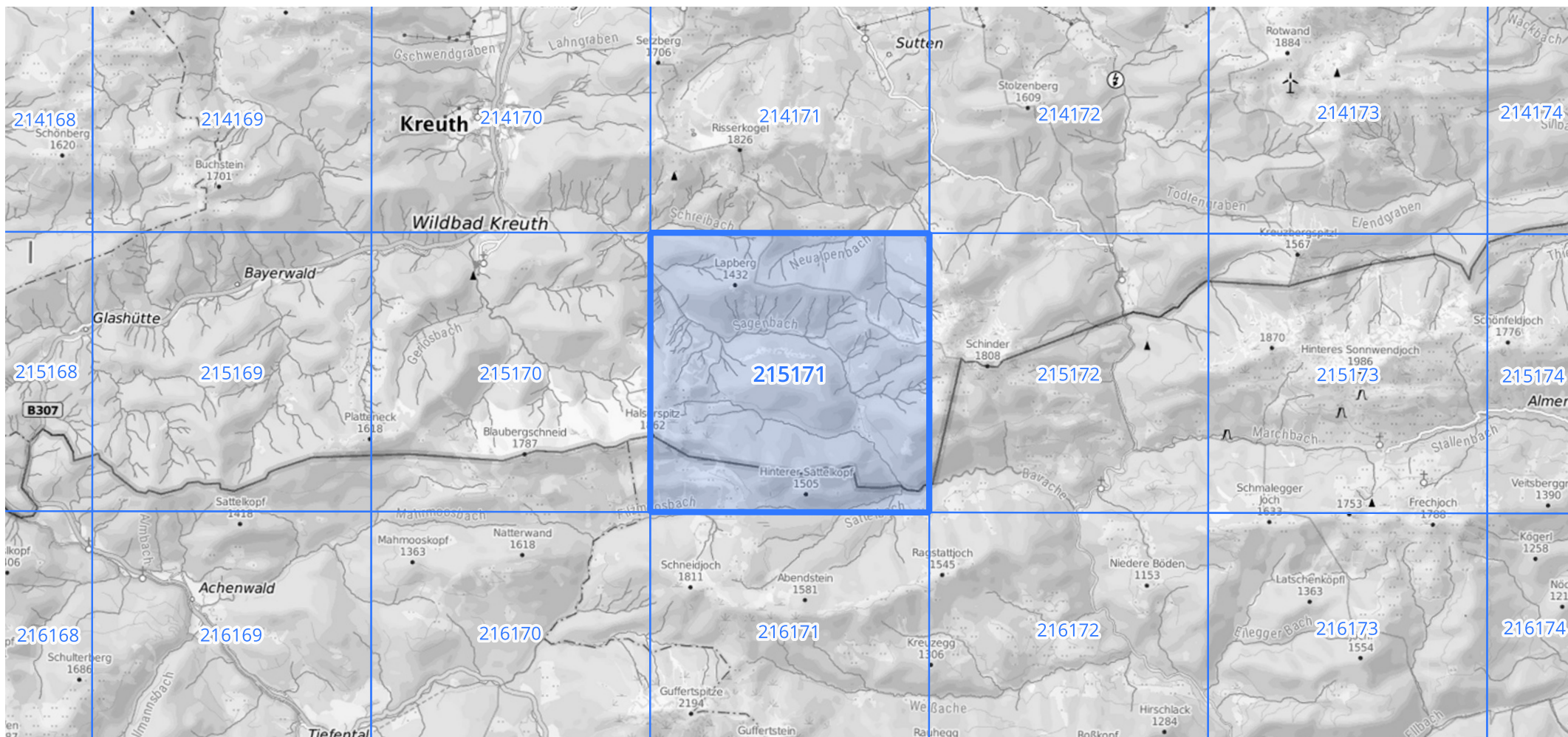
Siehe auch Anwendungshilfe zu KOSTRA-DWD-2020 des Deutschen Wetterdienstes.

Starkniederschlagshöhen und -spenden gemäß KOSTRA-DWD-2020

Rasterfeld 215171

(Zeile 215, Spalte 171)

Übersichtskarte des Rasterfeldes 215171, M 1 : 100 000



Quelle Rasterdaten: KOSTRA-DWD-2020 des Deutschen Wetterdienstes, Stand 12/2022.